

*Краткие сообщения по физике № 2 - 1984 г.*

## КАСКАДНЫЙ ЭЛЕКТРОГАЗОДИНАМИЧЕСКИЙ СО<sub>2</sub>-ЛАЗЕР

А. С. Бирюков, Н. А. Коноплев, В. А. Щеглов

УДК 621.375

Проведен анализ электроразрядного CO<sub>2</sub>-лазера на каскадных переходах со сверхзвуковой скоростью прокачки активной среды через резонатор.

В работах /1,2/ были исследованы принципиальные особенности и детально проанализированы энергетические возможности каскадного дозвукового CO<sub>2</sub>-лазера с электроразрядным возбуждением, работающего в импульсно-периодическом (ИП) режиме (последнее обеспечивается модуляцией добротности резонатора). В отличие от традиционного варианта, в котором генерация осуществляется на стандартном переходе с  $\lambda = 10,6$  мкм, каскадный механизм

соответствует одновременному излучению на двух переходах  $00^{\circ}1-10^{\circ}0-01^1O$  ( $\lambda = 10,6$  и  $13,9$  мкм) либо  $00^{\circ}1-02^{\circ}0-01^1O$  ( $\lambda = 9,6$  и  $16,2$  мкм).

Цель данной работы состоит в исследовании ИП электрогазодинамического  $CO_2$ -лазера (ЭГДЛ) на каскадных переходах.

В расчетной модели предполагалось, что смесь  $N_2 + He$  при начальной комнатной температуре, двигаясь в канале постоянного сечения, попадает в область несамостоятельного разряда с заданными плотностью тока и температурой электронов  $T_e^0$ . Соответствующий выбор параметров разряда для конкретных рабочих смесей при фиксированной плотности дозвукового потока позволяет осуществлять селективное возбуждение колебательных состояний азота при достаточно малых изменениях температуры и давления в разрядном промежутке. Далее поток входит в сверхзвуковое сопло, в критическом сечении которого производится подмешивание небольшого (< 5%) количества рабочего компонента  $CO_2$  с температурой 300 К. За расширяющейся частью сопла расположен резонатор с модулированной добротностью для вывода каскадного излучения. Подмешивание  $CO_2$  считалось мгновенным. При этом в соответствии с законами сохранения меняются давление, температура, мольный состав смеси. Результирующая смесь имела состав  $CO_2:N_2:He = 1:X_N:(20 - X_N)$ . Как и в [2], температура электронов на входе в разрядный промежуток принималась равной 1 эВ. Начальное давление (до разрядного промежутка) полагалось  $p_0 = 0,2$  атм. Расчеты проводились для сопла, форма которого описывается логарифмической функцией  $F(x) = 1 + a \ln(bx + 1)$  с параметрами  $a = 10$ ,  $b = 4,667 \cdot 10^{-2}$  см $^{-1}$ . Длина расширяющейся части составляла 5 см, что соответствует степени расширения  $H \approx 3$ . Плотность электронов считалась постоянной и равной  $10^{11}$  см $^{-3}$ . Длина разрядного промежутка вдоль потока определялась величиной энергии  $Q$ , вложенной в единицу объема газа, и скоростью его прокачки, которая полагалась равной 10 м/с. Расчеты энергетических параметров импульсно-периодического  $CO_2$ -ЭГДЛ проводились на основе метода, разработанного в [2,3]. Там же содержится необходимая информация по кинетике соответствующих процессов.

Некоторые результаты расчетов, относящиеся к длинноволновой составляющей каскадного излучения (переход  $02^{\circ}0-01^1O$ ) представлены на рис. I-3.

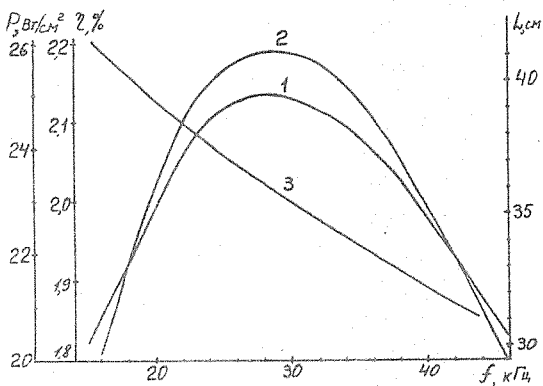
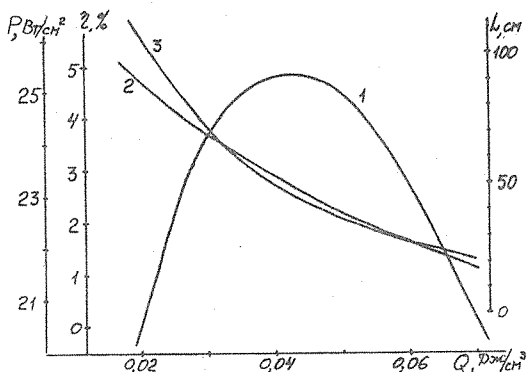


Рис. I. Зависимость приведенной мощности Р (1), коэффициента полезного действия  $\eta$  (2) и длины резонатора L (3) для длинноволновой составляющей каскадного  $\text{CO}_2$ -ЭГДЛ от частоты модуляции добротности.  $X_N = 4$ ,  $Q = 0,05 \text{ Дж}/\text{см}^3$

Рис. I. иллюстрирует зависимость приведенной к единице площасти поперечного сечения потока мощности Р от частоты модуляции добротности. Здесь же представлены частотный ход к.п.д. лазера по данному переходу  $\eta$  и длины резонатора вдоль потока L. Видно, что как и в ГДЛ /3/, приведенная мощность и к.п.д. имеют оптимум по частоте, а L падает, имея характерные значения  $\sim 30$ – $40$  см. Зависимости приведенной мощности и к.п.д. на коротковолновом переходе  $00^\circ 1$ – $02^\circ 0$  имеют аналогичный вид с той разницей, что абсолютные значения величин в максимумах примерно в 5 раз выше соответствующих значений для длинноволнового перехода, а сами оптимумы сдвинуты в сторону больших частот. Физически наличие оптимумов связано с тем, что при малых частотах значительная часть запасенной энергии релаксирует в тепло, а при больших в промежутке между импульсами система может не успевать входить в область существования каскадной инверсии (см. /I-2/).

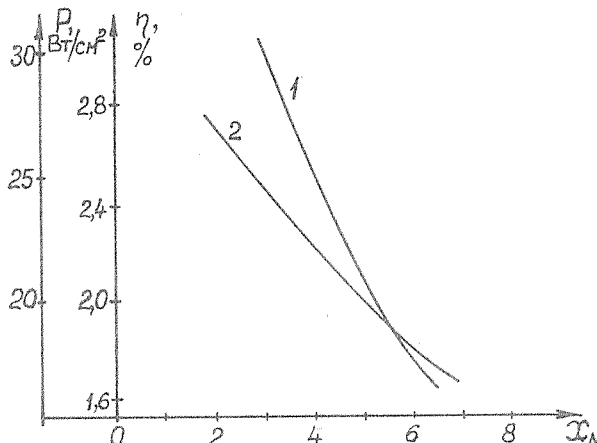
На рис. 2 представлены зависимости максимальной по частоте мощности Р и соответствующих этим значениям мощности  $\eta$  и L от величины удельного энерговклада в смесь  $\text{N}_2 + \text{He}$ . Коэффициент полезного действия изображен ниспадающей зависимостью.



Р и с. 2. Зависимость максимальной по частоте приведенной мощности (1) и соответствующих этим значениям мощности  $\eta$  (2) и  $\eta$  (3) от удельного энерговклада для условий рис. I.

же деле при некотором значении энерговклада  $\eta$  имеет оптимум, поскольку для малых  $Q$  при  $VV'$ -обмене  $CO_2$  и  $N_2$  необходимого для каскадной инверсии соотношения между колебательными температурами асимметрического и деформационного колебаний  $CO_2$  не возникает. Падение  $P$  при больших энерговкладах связано с растущим энерговыделением в поступательные степени свободы газа в резонаторе. Расчеты показывают, что частоты модуляции добротности при которых достигаются максимальные значения  $P$ , с ростом энерговклада растут. Сильная зависимость удельных характеристик излучения с длиной волны 16,2 мкм от температуры деформационных колебаний  $CO_2$  ведет к тому, что снижение температуры в смеси  $N_2 + He$  всего на  $\sim 50$  К значительно повышает эти характеристики.

Несмотря на низкую для рассматриваемых условий плотность газа в резонаторе ЭГДЛ, и, как следствие, сравнительно низкие ( $0,5-1,0$  Вт/см $^3$ ) значения средней мощности на единицу объема среди, приведенная мощность  $P$  оказывается здесь выше, чем в дозвуковом разрядном лазере /2/. Это определяется как большей длиной, так и охлаждением газа при расширении в сопле.



Р и с. 3. Зависимость максимальной по частоте приведенной мощности (1) и соответствующего этим значениям мощности  $\eta$  (2) от относительного содержания азота в смеси  $X_N$  при условиях рис. I

Рис. 3 иллюстрирует влияние химического состава активной среды на величину приведенной мощности и к.п.д. Ясно, что так же, как и в разрядном лазере с дозвуковой скоростью потока /2/, должны наблюдаться оптимумы  $P$  и  $\eta$  по  $X_N$  (на рисунке не изображены). Однако видно, что в лазерах с подмешиванием рабочего компонента эти оптимумы гораздо ярче выражены и сдвинуты в сторону меньших значений  $X_N$ .

Таким образом показано, что обладая высокими значениями к.п.д. по длинноволновому переходу каскадного излучения, характерными для газоразрядного лазера, и в то же время достоинствами газодинамического, каскадный  $\text{CO}_2$ -ЭГДЛ со смешением потоков колебательно-возбужденного азота и холодного  $\text{CO}_2$  является в настоящее время наиболее перспективным источником излучения с длиной волны 16,2 мкм. Отметим, что экспериментальная реализация таких лазерных систем представляется весьма актуальной и важной для ряда прикладных целей и, в первую очередь, для лазерохимии.

Поступила в редакцию  
29 июня 1983 г.

### Л и т е р а т у р а

1. А. С. Бирюков, В. А. Щеглов, Квантовая электроника, 8, 2371 (1981).
2. А. С. Бирюков и др., Квантовая электроника, 10, № 8, (1983); Препринт ФИАН № 148, 1982 г.
3. А. С. Бирюков, И. В. Караканова и др., Препринт ФИАН № 147, М., 1982 г.